

Режим разряда			<i>t, мксек</i>	$N \cdot 10^{-18}, см^{-3}$		
<i>p, атм</i>	<i>L, мГн</i>	<i>U, кВ</i>		по крыльям линии	по [1]	по [3]
1,5	0,18	4	0,08	0,62	0,52	0,77
2,5	0,18	2,5	0,15	0,42	0,45	0,75
			0,3	0,47	0,36	0,49
5	0,18	6	0,05	—	0,69	0,96
			0,2	0,62	0,56	0,69
8	0,18	6	0,05	—	0,94	1,7
			0,25	—	—	1,2
12	0,18	10,5	0,05	—	1,1	2
			0,25	—	—	1,28
2,5	3,6	3,5	0,45	0,48	0,45	0,23
			0,45	—	0,19	0,29

Результаты расчетов концентрации заряженных частиц для некоторых режимов разряда приведены в таблице. Учитывая весьма грубые упрощения, положенные в основу расчетов, можно считать совпадение результатов, полученных различными методами, удовлетворительным.

Следует заметить, что вопрос о применимости существующих теорий уширений линии для случая столь плотной плазмы ( $N \approx 10^{18} см^{-3}$ ) не является решенным в настоящее время [8,10], в частности, в этом случае не выполняется условие идеальности плазмы [8].

В заключение автор благодарит М. П. Ванюкова за интерес к работе и обсуждение ее результатов.

Государственный оптический  
институт

Поступило в редакцию  
13 июля 1959 г.

#### Литература

- [1] Б. А. Ермаков, А. А. Мак. ПТЭ, 3, 1959.
- [2] М. П. Ванюков, Б. А. Ермаков, А. А. Мак, В. Р. Муратов. Вестник ЛГУ, серия физ. хим., 16, 25, 1959.
- [3] А. Зоммерфельд. Строение атома и спектры, 1, Гостехиздат, 1956.
- [4] А. Unsold. Zs. Astrophys., 23, 75, 1944.
- [5] J. D. Craggs, W. Hopwood. Proc. Phys. Soc., London, 59, 755, 1947.
- [6] H. Wulff. Zs. Phys., 150, 614, 1958.
- [7] J. Holtzman. Ann. Phys., 58, 577, 1919.
- [8] В. И. Коган, Сб. физика плазмы и проблема управляемых термоядерных реакций, IV, Изд. АН СССР, 1958, стр. 258.
- [9] W. Lochte-Holtgreven. Сб. Probleme des Plasmas in Physik und Astronomie, Akademie-Verlag, Berlin, 1958, стр. 156.
- [10] И. И. Собельман. УФН, 54, 551, 1954.
- [11] H. Grieß. Zs. Phys., 137, 280, 1954.

## СЕЧЕНИЕ РАССЕЯНИЯ ЭЛЕКТРОНА НА ЭЛЕКТРОНЕ ПРИ БОЛЬШИХ ЭНЕРГИЯХ

B. N. Байер

Поскольку в ближайшее время намечается постановка опытов по рассеянию электронов на электронах при больших энергиях [1], представляется целесообразным вывести общую формулу для рассеяния электрона на электроне в случае, когда электроны являются инвариантно размазанными.

Расчет произведен для случая обмена одним фотоном. Как известно, в этом случае вершинный оператор взаимодействия инвариантно размазанного электрона и фотона может быть представлен в виде

$$e\Gamma_{\mu}(q) = e[\gamma_{\mu}f_1(q^2) + (1/2m)(\hat{q}\gamma_{\mu} - \gamma_{\mu}\hat{q})f_2(q^2)]. \quad (1)$$

Здесь  $q$  — передача импульса,  $f_1(q^2)$  и  $f_2(q^2)$  — функции, описывающие распределение заряда и тока в электроне.

Если частица со спином  $1/2$  обладает точечным зарядом  $e$  и точечным аномальным магнитным моментом  $\mu$ , то  $f_1 = 1$ ,  $f_2 = -i\mu/2$ ; при малых значениях величины передачи импульса  $q$  функции  $f_1$  и  $f_2$  представляют соответственно распределение заряда и аномального магнитного момента в электроне. Если же величина передачи импульса станет больше или порядка обратной длины распределения заряда и аномального магнитного момента в электроне, то такая простая интерпретация функций  $f_1(q^2)$  и  $f_2(q^2)$  становится неверной и обе функции описывают и распределение заряда и распределение аномального магнитного момента. Именно поэтому, хотя аномальный магнитный момент электрона имеет радиационную природу и очень мал ( $\mu \sim \alpha/2\pi$ ), функция  $f_2(q^2)$  может оказаться весьма существенной для описания распределения заряда и тока в электроне на малых расстояниях.

После усреднения и суммирования по спинам электронов в начальном и конечном состояниях получаем следующую формулу для сечения рассеяния в системе центра инерции:

$$d\sigma/d\Omega = r_0^2 X / 4\gamma^2, \quad (2)$$

где

$$\begin{aligned} X &= \alpha/4(1-\lambda)^2 + \beta/4(1-\mu)^2 - (\delta_1 + \varepsilon_1)/4(1-\mu)(1-\lambda); \\ \alpha &= 2[2 - 2\lambda + \kappa^2 + \mu^2] |f_1|^4 + 8(1-\lambda)[4 - 3\lambda + \lambda^2 - \mu^2 - \kappa^2] |f_1|^2 |f_2|^2 + \\ &+ 4(1-\lambda)^2 [7 - 2\lambda - \lambda^2 + 2(\kappa^2 + \mu^2)] |f_2|^4 - 16(1-\lambda) \operatorname{Im}(f_1 f_2^*) \times \\ &\times [|f_1|^2(\lambda - 2) + |f_2|^2(1 - \lambda)(\lambda - 5)] + 48(1-\lambda)^2 [\operatorname{Im}(f_1 f_2^*)]^2; \\ \delta_1 + \varepsilon_1 &= 2\{2\operatorname{Re}(f_1' f_1^{*2})[\lambda + \mu + \kappa - \kappa^2 - 1] - 2\operatorname{Im}(f_1 f_2 f_1'^{*2})(1 - \lambda) \times \\ &\times [5\kappa + 3\mu + \lambda - 3] - 2\operatorname{Re}(f_1' f_2^{*2})(1 - \lambda)[5\kappa + \mu + 2\lambda - 1 - \lambda^2 - 2\lambda\mu] - \\ &- 2\operatorname{Im}(f_1 f_2' f_1^{*2})(1 - \mu)[5\kappa + 3\lambda + \mu - 3] + 8\operatorname{Re}(f_1' f_2' f_1^{*2})(1 - \mu)(1 - \lambda) \times \\ &\times (2\kappa - 3) - 4\operatorname{Im}(f_1' f_2^{*2})(1 - \lambda)(1 - \mu)[6 - 4\lambda - \mu - \kappa] - 2\operatorname{Re}(f_2' f_1^{*2})(1 - \mu) \times \\ &\times [5\kappa + \lambda + 2\mu - 1 - \mu^2 - 2\lambda\mu] - 4\operatorname{Im}(f_1 f_2 f_2'^{*2})(1 - \lambda)(1 - \mu) \times \\ &\times [6 - \lambda - \kappa - 4\mu] + \operatorname{Re}(f_2' f_2^{*2})(1 - \lambda)(1 - \mu)[\lambda^2 + \mu^2 - 5\kappa^2 - 13]; \end{aligned}$$

коэффициент  $\beta$  может быть получен из коэффициента  $\alpha$ , если проделать следующую замену:

$$f_{1,2} \rightarrow f'_{1,2}; \quad \lambda \rightarrow \mu, \quad \mu \rightarrow \lambda.$$

Кроме того, мы обозначили:

$$\begin{aligned} f_{1,2} &\equiv f_{1,2}(q^2), \quad f'_{1,2} \equiv f_{1,2}(q'^2); \\ \kappa &= -m^{-2}(p_1 p_2) = -m^{-2}(p'_1 p'_2) = 2\gamma^2 - 1, \\ \mu &= -m^{-2}(p_1 p'_2) = -m^{-2}(p_2 p'_1) = \gamma^2 + (\gamma^2 - 1) \cos \vartheta, \\ \lambda &= -m^{-2}(p_1 p'_1) = -m^{-2}(p_2 p'_2) = \gamma^2 - (\gamma^2 - 1) \cos \vartheta, \quad \varepsilon = \gamma m, \end{aligned}$$

$\vartheta$  — угол рассеяния в системе центра инерции,  $p_1, p_2$  — начальные,  $p'_1, p'_2$  — конечные импульсы,  $q = p_1 - p'_1 = p'_2 - p_2$ ,  $q' = p_1 - p'_2 = p'_1 - p_2$ . В приведенных формулах система обозначения выбрана как в [2].

Отметим, что, вообще говоря, мы учитываем обмен «обросшим» фотоном, функция распространения которого  $d(q^2)/q^2$ , а функцию  $d(q^2)$  мы включили в вершинные функции  $f_1(q^2)$  и  $f_2(q^2)$ . На основании опытов по рассеянию вообще невозможно отличить изменение вершинного оператора от изменения функции распространения фотона.

Следует также учесть, что если на коротких расстояниях в игру вступают новые силы, имеющие векторный характер (переносимые векторными мезонами), то выведенные здесь формулы остаются в силе, если заменить функцию распространения фотона  $-1/q^2$  на функцию распространения мезона.

Известная формула Мёллера получается из формулы (2), если положить  $f_2 = 0$ ,  $f_1 = 1$ . Все радиационные и мезонные поправки включены в функцию  $f_1(q^2)$  и  $f_2(q^2)$  (при учете обмена одним фотоном, а именно в этом случае имеет смысл говорить о формфакторах  $f_1$  и  $f_2$ ) и могут быть оценены. Отклонение от формулы Мёллера (с учетом указанных выше поправок и обмена большим числом фотонов) будет говорить о неприменимости квантовой электродинамики на малых расстояниях, а определение на опыте функций  $f_1(q^2)$  и  $f_2(q^2)$  даст сведения о распределении заряда и тока в электроне.

Поступило в редакцию  
17 июля 1959 г.

#### Литература

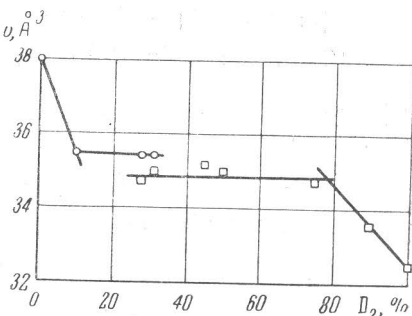
- [1] В.К. Панофский. Доклад на IX Международной конференции по физике высоких энергий, Киев, 1959.
- [2] J. M. Jauch, F. Rohrlich. The theory of photons and electrons, Cambr.-Mass., 1955.

## ВЗАЙМНАЯ РАСТВОРИМОСТЬ ВОДОРОДА И ДЕЙТЕРИЯ ПРИ 4,2°К

*P. Ф. Булатова, В. С. Коган, В. Г. Лазарев*

Общие контуры диаграммы состояния  $\text{H}_2 - \text{D}_2$  сообщались ранее [1]. При гелиевых температурах двухфазная область смеси  $\text{H}_2 + \text{D}_2$  была тогда ориентировочно определена по тому интервалу концентраций, в котором на рентгенограммах присутствовали одновременно линии водорода и линиидейтерия. Расчет рентгенограмм смесей с использованием данных о структуре чистых изотопов [2] позволяет уточнить пределы растворимости водорода вдейтерии идейтерия в водороде при 4,2°К.

Из данных о структуре чистых изотопов следует, что на одну молекулу в решетке  $\text{H}_2$  приходится объем  $38 \text{ \AA}^3$ , а в решетке  $\text{D}_2$  —  $32,5 \text{ \AA}^3$ . Значения объемов  $v$  на одну молекулу в решетках твердых смесей различных составов приведены на рисунке. Эти данные показывают, что пределы растворимости водорода вдейтерии — 10%, адейтерия в водороде — 21%. Интересно отметить, что величины объемов, приходящиеся на одну молекулу в обоих предельных твердых растворах при-



Объем, приходящийся на одну молекулу;  $\circ$  — в решетках водорода и  $\square$  — дейтерия, в зависимости от состава смеси